



Министерство науки и высшего образования Российской Федерации
Федеральное государственное бюджетное образовательное
учреждение высшего образования
«Московский государственный технический университет
имени Н.Э. Баумана
(национальный исследовательский университет)»
(МГТУ им. Н.Э. Баумана)

ФАКУЛЬТЕТ «Информатика и системы управления»

КАФЕДРА «Программное обеспечение ЭВМ и информационные технологии»

Лабораторная работа № 4

Тема: Программно-алгоритмическая реализация моделей на основе дифференциальных уравнений в частных производных с краевыми условиями II и III рода

Студент Лучина Е.Д

Группа ИУ7-61Б

Преподаватель Градов В.М.

Москва.
2020 г.

Цель работы	3
Физическое содержание задачи	3
Исходные данные	3
Значение параметров для отладки	4
Разностная схема и аналоги краевых условий	4
Разностная схема	4
Разностный аналог краевого условия при $x=0$	4
Разностный аналог краевого условия при $x=l$	5
Решение системы	6
Результат работы	6
Листинг кода программы	7
Вопросы при защите лабораторной работы	11

Цель работы

Цель работы - получение навыков разработки алгоритмов решения смешанной краевой задачи при реализации моделей, построенных на квазилинейном уравнении параболического типа.

Физическое содержание задачи

Постановки задач в данной лабораторной работе и работе №3 во многом совпадают. Отличия заключаются в следующем:

1. Сформулированная в данной работе математическая модель описывает нестационарное температурное поле $T(x, t)$, зависящее от координаты x и меняющееся во времени.
2. Свойства материала стержня привязаны к температуре, т.е. Теплоемкость и коэффициент теплопроводности $c(T)$, $k(T)$ зависят от T , тогда как в работе №3 $k(x)$ зависит от координаты, а $c = 0$.
3. При $x = 0$ цилиндр нагружается тепловым потоком $F(t)$, в общем случае зависящим от времени, а в работе №3 поток был постоянный.

Если в настоящей работе задать поток постоянным, т.е. $F(t) = const$, то будет происходить формирование температурного поля от начальной температуры T_0 до некоторого установившегося (стационарного) распределения $T(x, t)$. Это поле в дальнейшем с течением времени меняться не будет и должно совпасть с температурным распределением $T(x)$, получаемым в лаб. работе №3, если все параметры задач совпадают, в частности, вместо $k(T)$ надо использовать $k(x)$ из лаб. работы №3. Это полезный факт для тестирования программы.

Если после разогрева стержня положить поток $F(t) = 0$, то будет происходить остывание, пока температура не выровняется по всей длине и не станет равной T_0 . При произвольной зависимости потока $F(t)$ от времени температурное поле будет как-то сложным образом отслеживать поток.

Замечание. Варьируя параметры задачи, следует обращать внимание на то, что решения, в которых температура превышает примерно 2000K, физического смысла не имеют и практического интереса не представляют.

Исходные данные

Функция $T(x, t)$ описывается квазилинейным уравнением параболического типа:

$$c(T)\frac{T}{t} = \frac{1}{x}(k(T)\frac{T}{x} - \frac{2}{R}\alpha(x)T + \frac{2T_0}{R}\alpha(x)) \quad (1)$$

В обозначениях последующих формул

$$F(t) = -k(T)\frac{T}{x}; \quad p(x) = \frac{2}{R}\alpha(x), \quad f(x) = \frac{2T_0}{R}\alpha(x) \quad (2)$$

Краевые условия:

$$\begin{aligned} t = 0, \quad T(x, 0) &= T_0 \\ x = 0, \quad -k(T(0))\frac{T}{x} &= F_0 \\ x = l, \quad -k(T(l))\frac{T}{x} &= \alpha_N(T(l) - T_0) \end{aligned} \quad (3)$$

Значение параметров для отладки

Все размерности соблюдены

$$k(T) = \alpha_1(b_1 + c_1 T^{m_1}), \text{ Вт/см}^2 \text{ К}$$

$$c(T) = a_2 + b_2 T^{m_2} - \frac{c_2}{T^2}, \text{ Дж/см}^3 \text{ К}$$

$a_1 = 0.0134$	$b_1 = 1$	$c_1 = 4.35 \times 10^{-4}$	$m_1 = 1$	$a_0 = 0.05, \text{ Вт/см}^2 \text{ К}$
$a_2 = 2.049$	$b_2 = 0.563 \times 10^{-3}$	$c_2 = 0.528 \times 10^5$	$m_2 = 1$	$\alpha_N = 0.01, \text{ Вт/см}^2 \text{ К}$

$$\alpha(x) = \frac{c}{x-d} \text{ задана константами } c \text{ и } d.$$

Отсюда найдем константы

$$c = -d\alpha_0; \quad d = \frac{\alpha_N l}{\alpha_N - \alpha_0}$$

$$l = 10 \text{ см}$$

$$R = 0.5 \text{ см}$$

$$T_0 = 300 \text{ К}$$

$$F(t) = 50 \text{ Вт/см}^2 - \text{постоянное значение для отладки}$$

Разностная схема и аналоги краевых условий

Разностная схема и алгоритм получения разностных аналогов краевых условий описаны в лекции 14.

Разностная схема

$$\widehat{A}_n \widehat{y}_{n-1} - \widehat{B}_n \widehat{y}_n + \widehat{C}_n \widehat{y}_{n+1} = -\widehat{D}_n, \quad 1 \leq n \leq N-1 \quad (4)$$

где

$$\widehat{A}_n = \widehat{\chi}_{n-1/2} \frac{\tau}{h}$$

$$\widehat{C}_n = \widehat{\chi}_{n+1/2} \frac{\tau}{h}$$

$$\widehat{B}_n = \widehat{A}_n + \widehat{C}_n + \widehat{c}_n h + p_n h \tau$$

$$\widehat{D}_n = f_n h \tau + \widehat{c}_y h$$

Разностный аналог краевого условия при $x = 0$

$$(\frac{h}{8} \widehat{c}_{1/2} + \frac{h}{4} \widehat{c}_0 + \widehat{\chi}_{1/2} \frac{\tau}{h} + \frac{\tau h}{8} p_{1/2} + \frac{\tau h}{4} p_0) \widehat{y}_0 + (\frac{h}{8} \widehat{c}_{1/2} - \widehat{\chi}_{1/2} \frac{\tau}{h} + \frac{\tau h}{8} p_{1/2}) \widehat{y}_1 =$$

$$= \frac{h}{8}\widehat{c}_{1/2}(y_0 + y_1) + \frac{h}{4}\widehat{c}_0 y_0 + \widehat{F}\tau + \frac{\tau h}{4}(\widehat{f}_{1/2} + \widehat{f}_0) \quad (5)$$

$$\begin{aligned} K_0 \widehat{y}_0 + M_0 \widehat{y}_1 &= P_0 \\ K_0 &= \frac{h}{8}\widehat{c}_{1/2} + \frac{h}{4}\widehat{c}_0 + \widehat{\chi}_{1/2} \frac{\tau}{h} + \frac{\tau h}{8}p_{1/2} + \frac{\tau h}{4}p_0 \\ M_0 &= \frac{h}{8}\widehat{c}_{1/2} - \widehat{\chi}_{1/2} \frac{\tau}{h} + \frac{\tau h}{8}p_{1/2} \\ P_0 &= \frac{h}{8}\widehat{c}_{1/2}(y_0 + y_1) + \frac{h}{4}\widehat{c}_0 y_0 + \widehat{F}\tau + \frac{\tau h}{4}(\widehat{f}_{1/2} + \widehat{f}_0) \end{aligned} \quad (6)$$

Разностный аналог краевого условия при $x = l$

Проинтегрируем уравнение (1) на отрезке $[x_{N-1/2}, x_N]$ и на интервале времени $[t_m, t_{m+1}]$

$$\int_{x_{N-1/2}}^{x_N} dx \int_{t_m}^{t_{m+1}} c(T) \frac{T}{x} dt = - \int_{t_m}^{t_{m+1}} dt \int_{x_{N-1/2}}^{x_N} \frac{F}{x} dx - \int_{x_{N-1/2}}^{x_N} dx \int_{t_m}^{t_{m+1}} p(x) T dt + \int_{x_{N-1/2}}^{x_N} dx \int_{t_m}^{t_{m+1}} f(x) dt$$

Методом правых треугольников приближенно вычислим внутренние интегралы по t . Тем самым следует ожидать порядок точности $O(\tau)$ по переменной t .

Получим

$$\int_{x_{N-1/2}}^{x_N} \widehat{c}(\widehat{T} - T) dx = - \int_{t_m}^{t_{m+1}} (F_N - F_{N-1/2}) dt - \int_{x_{N-1/2}}^{x_N} p \widehat{T} \tau dx + \int_{x_{N-1/2}}^{x_N} \widehat{f} \tau dx$$

Первый интеграл правой части (по времени) вычислим также методом правых треугольников, а остальные (интегралы по координате) - методом средних.

$$\begin{aligned} & \frac{h}{4}[\widehat{c}_N(\widehat{y}_N - y_N) + \widehat{c}_{N-1/2}(\widehat{y}_{N-1/2} - y_{N-1/2})] = \\ & = -(\widehat{F}_N - \widehat{F}_{N-1/2})\tau - (p_N \widehat{y}_N + p_{N-1/2} \widehat{y}_{N-1/2})\tau \frac{h}{4} + (\widehat{f}_N + \widehat{f}_{N-1/2})\tau \frac{h}{4} \end{aligned}$$

Подставим сюда выражение для потока

$$\widehat{F}_N = \alpha_N(\widehat{y}_N - T_0), \text{ а } \widehat{F}_{N-1/2} = \widehat{\chi}_{N-1/2} \frac{\widehat{y}_{N-1} - \widehat{y}_N}{h}$$

И заменим

$$\widehat{y}_{N-1/2} = \frac{\widehat{y}_N + \widehat{y}_{N-1}}{2}; \quad y_{N-1/2} = \frac{y_N + y_{N-1}}{2}$$

Получим

$$\begin{aligned} & \frac{h}{4}[\widehat{c}_N(\widehat{y}_N - y_N) + \widehat{c}_{N-1/2}(\frac{\widehat{y}_N + \widehat{y}_{N-1}}{2} - \frac{y_N + y_{N-1}}{2})] = \\ & = -(\alpha_N(\widehat{y}_N - T_0) - \widehat{\chi}_{N-1/2} \frac{\widehat{y}_{N-1} - \widehat{y}_N}{h})\tau - (p_N \widehat{y}_N + p_{N-1/2} \frac{\widehat{y}_N + \widehat{y}_{N-1}}{2})\tau \frac{h}{4} + (\widehat{f}_N + \widehat{f}_{N-1/2})\tau \frac{h}{4} \end{aligned} \quad (7)$$

Преобразуем

$$K_N \widehat{y}_N + M_N \widehat{y}_{N-1} = P_N \quad (8)$$

где

$$K_N = \frac{h}{4}\widehat{c}_N + \frac{h}{8}\widehat{c}_{N-1/2} + \widehat{\chi}_{N-1/2} \frac{\tau}{h} + \frac{\tau h}{4}p_N + \frac{\tau h}{8}p_{N-1/2} + \alpha_N \tau$$

$$M_N = \frac{h}{8}\widehat{C}_{N-1/2} - \widehat{\chi}_{N-1/2}\frac{\tau}{h} + \frac{\tau h}{8}P_{N-1/2}$$

$$P_N = \frac{h}{4}\widehat{C}_N y_N + \frac{h}{8}\widehat{C}_{N-1/2}(y_N + y_{N+1}) + \alpha_N T_0 \tau + (\widehat{f}_N + \widehat{f}_{N-1/2})\tau \frac{h}{4}$$

В итоге система квазилинейных разностных уравнений примет канонический вид:

$$\begin{aligned} K_0 \widehat{y}_0 + M_0 \widehat{y}_1 &= P_0 \\ \widehat{A}_n \widehat{y}_{n-1} - \widehat{B}_n \widehat{y}_n + \widehat{C}_n \widehat{y}_{n+1} &= -\widehat{D}_n, \quad 1 \leq n \leq N-1 \\ K_N \widehat{y}_N + M_N \widehat{y}_{N-1} &= P_N \end{aligned} \quad (9)$$

Решение системы

Данную систему (9) можно решить методом прогонки.

Прогоночные коэффициенты можно найти по следующим рекуррентным формулам:

$$\xi_{n+1} = \frac{C_n}{B_n - A_n \xi_n}; \quad \eta_{n+1} = \frac{D_n + A_n \eta_n}{B_n - A_n \xi_n} \quad (10)$$

начальные коэффициенты прогонки

$$\xi_1 = \frac{M_0}{K_0}; \quad \eta_1 = \frac{P_0}{K_0} \quad (11)$$

Алгоритм решения

Для каждого фиксированного t :

- Найти $K_0, M_0, P_0, K_N, M_N, P_N$
- Найти $\widehat{A}_n, \widehat{B}_n, \widehat{C}_n, \widehat{D}_n$
- Найти прогоночные коэффициенты (прямой ход)
- Найти значения T (обратный ход) по формулам

$$T_N = \frac{P_N - M_N \eta_N}{K_N + M_N \xi_N}$$

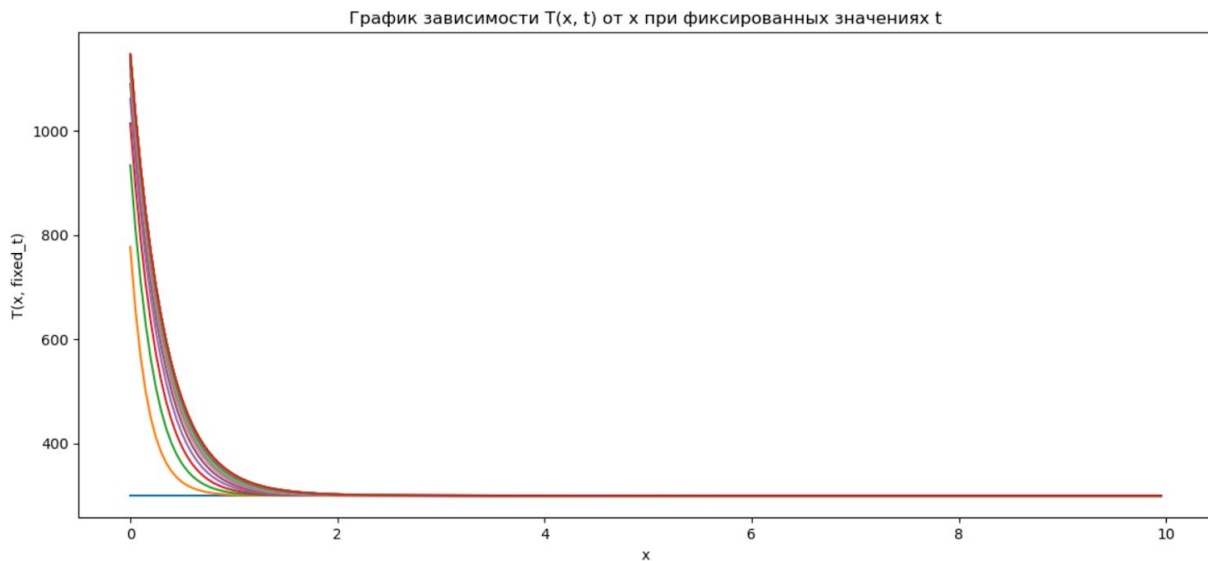
$$T_n = \xi_{n+1} T_{n+1} + \eta_{n+1}$$

В результате получим матрицу описывающую температурное поле $T(x, t)$, где строке соответствует фиксированный момент времени, а столбцу - фиксированная координаты вдоль длины стержня.

Результат работы

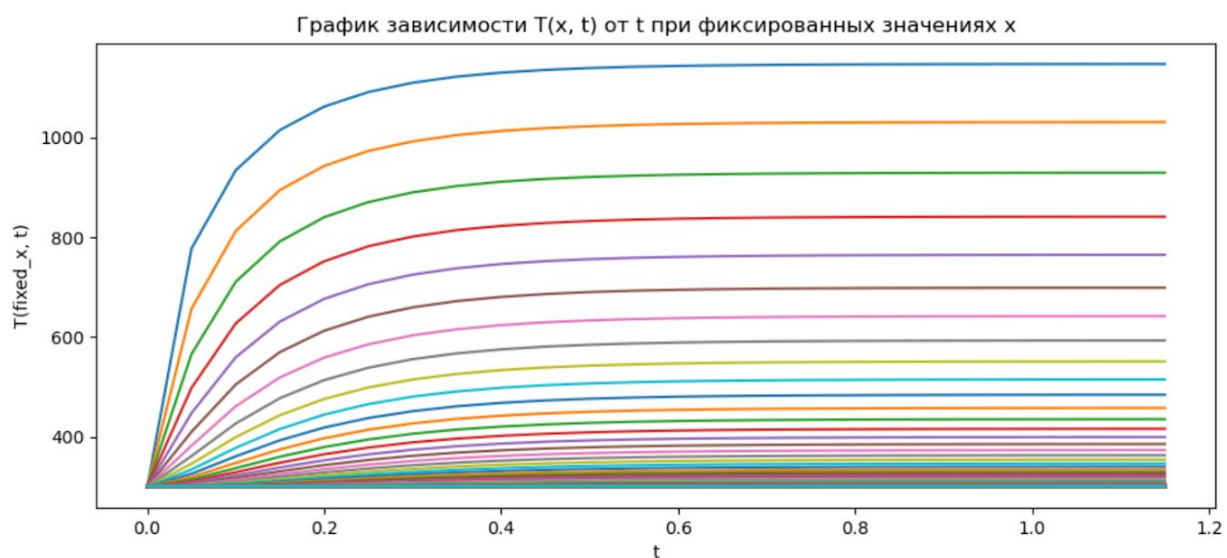
Разностный аналог краевого условия при $x = l$ и его краткий вывод интегро-интерполяционным методом представлен в пункте Разностный аналог краевого условия при $x = l$.

График зависимости температуры $T(x, t)$ от координаты x при нескольких фиксированных значениях времени t_m (с шагом $\tau = 5$) при заданных выше параметрах.



Последний красный график (где температура изменяется в бОльшем диапазоне) представляет распределение $T(x, t)$ в момент времени, соответствующий установившемуся режиму, когда поле перестает меняться с некоторой точностью $\frac{T(t+\tau)-T(t)}{T(t+\tau)} < 10^{-4}$, т.е. имеет место выход на стационарный режим. Нижний синий график, где температура постоянна и равна T_0 , - температура в начальный момент времени.

График зависимости $T(x_n, t)$ при нескольких фиксированных значениях координаты x_n (с шагом $h = 0.05$).



Синий верхний график соответствует $x = 1$, нижний - $x = 0$

Листинг кода программы

Программа написана на языке python. Для отображения графиков используется matplotlib.

Функции описывающие исходные уравнения явления и параметры для отладки

```

l = 10
R = 0.5
T0 = 300
F0 = 50

a1 = 0.0134
a2 = 2.049
b1 = 1
b2 = 0.564e-3
c1 = 4.35e-4
c2 = 0.528e5
m1 = 1
m2 = 1
def k(T): return a1 * (b1 + c1 * T ** m1)
def cap(T): return a2 + b2 * T ** m2 - (c2 / T / T)

alpha0 = 0.05
alphaN = 0.01
d = alphaN * l / (alphaN - alpha0)
c = -d * alpha0
def alpha(x): return c / (x - d)
def p(x): return 2 * alpha(x) / R
def f(x): return 2 * T0 * alpha(x) / R
def Hi(T1, T2):
    k1 = k(T1)
    k2 = k(T2)
    return 2 * k1 * k2 / (k1 + k2)

h = 0.05
tau = 5
N = (int)(l / h)

```

Поиск коэффициентов разностной схемы и разностных аналогов краевых условий
 $K_0, M_0, P_0; K_N, M_N, P_N; A_n, B_n, C_n, D_n$

```

def left_border(prev_iter, prev_T):
    Hi12 = Hi(prev_iter[0], prev_iter[1])
    p0 = p(0)
    p1 = p(h)
    p12 = (p0 + p1) / 2
    f0 = f(0)
    f1 = f(h)
    f12 = (f0 + f1) / 2
    cap0 = cap(prev_iter[0])
    cap1 = cap(prev_iter[1])
    cap12 = (cap0 + cap1) / 2

    tauh4 = tau * h / 4
    h8cap12 = h/8 * cap12
    Hi12tauh = Hi12 * tau / h

    K0 = h8cap12 + h/4*cap0 + Hi12tauh + tauh4/2*p12 + tauh4*p0
    M0 = h8cap12 - Hi12tauh + tauh4/2*p12
    P0 = h8cap12*(prev_T[0]+prev_T[1]) + h/4*cap0*prev_T[0] + F0*tau + tauh4*(f12+f0)
    return (K0, M0, P0)

def right_border(prev_iter, prev_T):

```



```

last = len(prev_iter) - 1
HiN12 = Hi(prev_iter[last], prev_iter[last - 1])
pN = p(1)
pN1 = p(1 - h)
pN12 = (pN + pN1) / 2
fN = f(1)
fN1 = f(1 - h)
fN12 = (fN + fN1) / 2
capN = cap(prev_iter[last])
capN1 = cap (prev_iter[last - 1])
capN12 = (capN + capN1) / 2

tau4 = tau * h / 4
h8capN12 = h/8 * capN12
HiN12tau4 = HiN12 * tau / h

KN = h/4*capN + h8capN12 + HiN12tau4 + tau4 * pN + tau4/2*pN12 + alphaN*tau
MN = h8capN12 - HiN12tau4 + tau4/2*pN12
PN = h/4*capN*prev_T[last] + h/8*capN12*(prev_T[last] + prev_T[last - 1]) +
alphaN*T0*tau + tau4 * (fN + fN12)
return (KN, MN, PN)

def coefs(prev_iter, prev_T):
    A_arr = [0 for x in range(N)]
    B_arr = [0 for x in range(N)]
    C_arr = [0 for x in range(N)]
    D_arr = [0 for x in range(N)]
    for i in range (1, N - 1):
        x = i * h
        A_arr[i] = Hi(prev_iter[i], prev_iter[i - 1]) * tau / h
        C_arr[i] = Hi(prev_iter[i], prev_iter[i + 1]) * tau / h
        B_arr[i] = A_arr[i] + C_arr[i] + cap(prev_iter[i])* h + p(x) * h * tau
        D_arr[i] = f(x) * h * tau + cap(prev_iter[i]) * prev_T[i] * h

    return (A_arr, B_arr, C_arr, D_arr)

```

Метод прогонки

```

def ksi_etta(K0, M0, P0, A_arr, B_arr, C_arr, D_arr):
    ksi_arr = [None] * N
    etta_arr = [None] * N
    ksi_arr[1] = -M0 / K0
    etta_arr[1] = P0 / K0
    for i in range(1, N - 1):
        denominator = B_arr[i] - A_arr[i] * ksi_arr[i]
        ksi_arr[i + 1] = C_arr[i] / denominator
        etta_arr[i + 1] = (D_arr[i] + A_arr[i] * etta_arr[i]) / denominator
    return (ksi_arr, etta_arr)

def get_T(KN, MN, PN, ksi_arr, etta_arr):
    T_arr = [None] * N
    T_arr[N - 1] = (PN - MN * etta_arr[N - 1]) / (KN + MN * ksi_arr[N - 1])
    for i in range(N - 2, -1, -1):
        T_arr[i] = ksi_arr[i + 1] * T_arr[i + 1] + etta_arr[i + 1]
    return T_arr

```

Основная верхнеуровневая функция solve, возвращает матрицу, которая описывает температурное поле $T(x, t)$. И вспомогательная функция для определения факта достижения нужной точности.

```
def find_max_diff(T_arr_cur, T_arr_prev):
    length = len(T_arr_cur)
    maxv = abs((T_arr_cur[0] - T_arr_prev[0]) / T_arr_cur[0])
    for i in range(1, length):
        v = abs((T_arr_cur[i] - T_arr_prev[i]) / T_arr_cur[i])
        if (maxv < v):
            maxv = v
    return maxv

def solve():
    eps = 0.0001

    result = []
    cur_T = [T0 for i in range(N)]
    result.append(cur_T)

    tmp = float('Inf')
    t = 0
    while (tmp > eps):
        prev_T = cur_T
        cur_iter = cur_T
        tmp = float('Inf')
        while (tmp > eps):
            prev_iter = cur_iter
            K0, M0, P0 = left_border(prev_iter, prev_T)
            KN, MN, PN = right_border(prev_iter, prev_T)
            A_arr, B_arr, C_arr, D_arr = coefs(prev_iter, prev_T)
            ksi_arr, etta_arr = ksi_etta(K0, M0, P0, A_arr, B_arr, C_arr, D_arr)
            cur_iter = get_T(KN, MN, PN, ksi_arr, etta_arr)
            tmp = find_max_diff(cur_iter, prev_iter)
        cur_T = cur_iter
        result.append(cur_T)
        t += tau
        tmp = find_max_diff(cur_T, prev_T)
    return (result)
```

Построение графиков

```
from matplotlib import pyplot as plt
def graph_fix_t_T_of_x(result):
    x = [i * h for i in range (N)]
    for i in result:
        plt.plot(x, i)
    plt.ylabel('T(x, fixed_t)')
    plt.xlabel('x')
    plt.title('График зависимости T(x, t) от x при  
фиксированных значениях t')
    plt.show()

def graph_fix_x_T_of_t(result):
    length = len(result)
    t = [i * tau for i in range (length)]
```

```

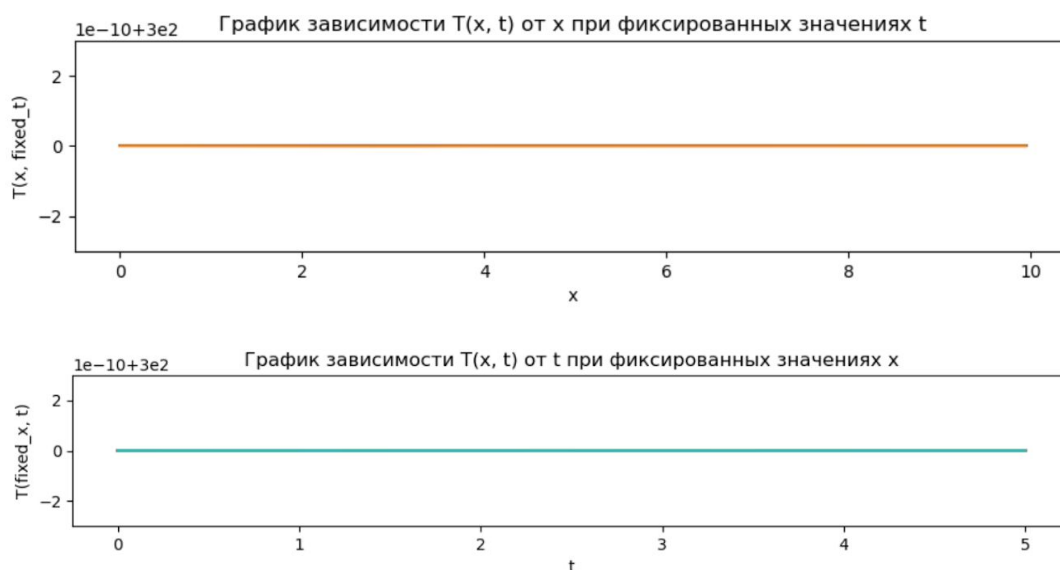
for i in range(N):
    fixed_x = [result[j][i] for j in range(length)]
    print(fixed_x)
    plt.plot(t, fixed_x)
plt.ylabel('T(fixed_x, t)')
plt.xlabel('t')
plt.title('График зависимости T(x, t) от t при фиксированных значениях x')
plt.show()

```

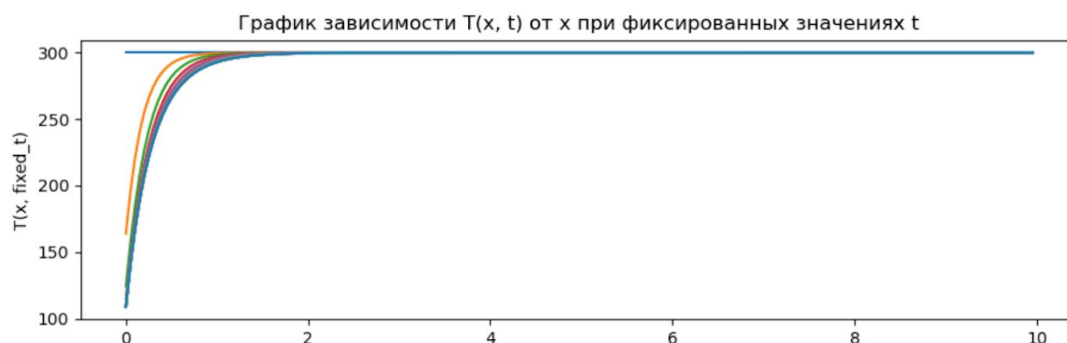
Вопросы при защите лабораторной работы

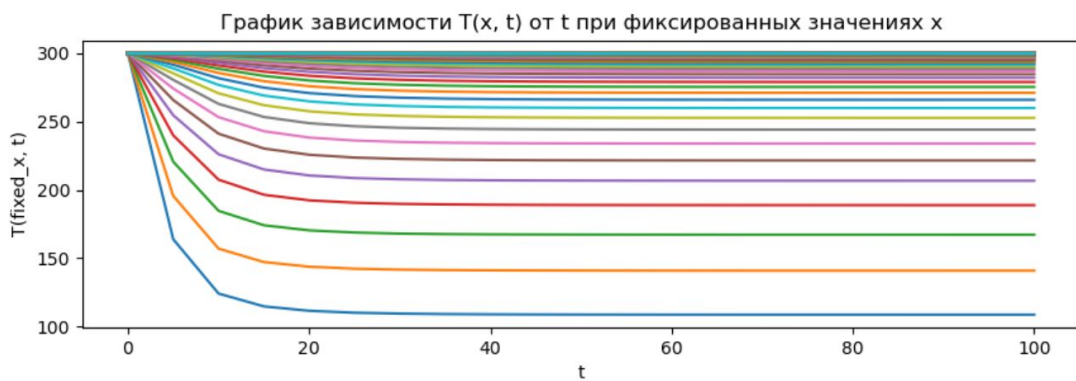
Приведите результаты тестирования программы (графики, общие соображения, качественный анализ). Учесть опыт выполнения лабораторной работы №3.

Можно рассмотреть разный поток F . При нулевом F нагревание (или охлаждение) отсутствует, температурное поле будет неизменно равно T_0 .

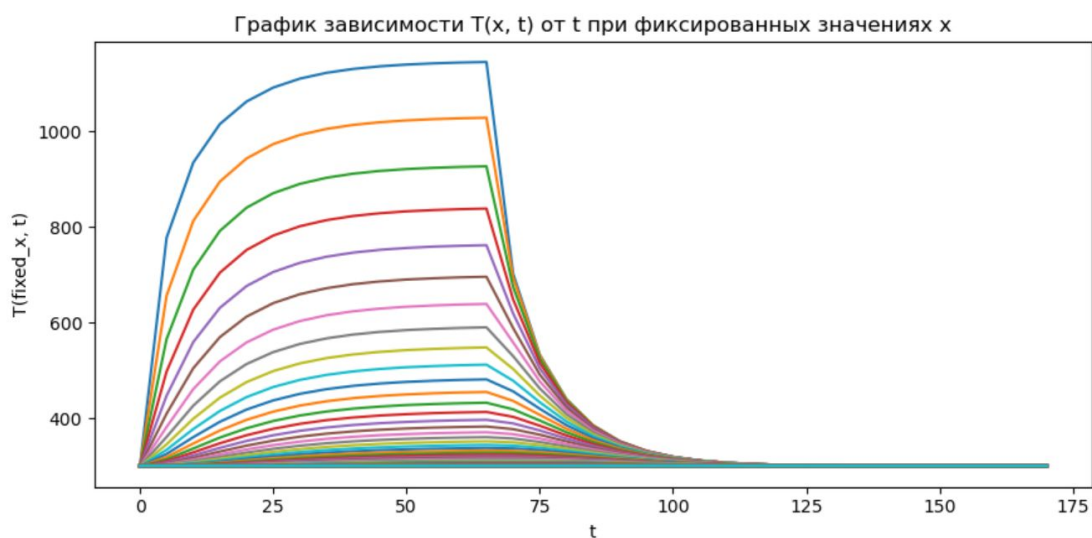


При положительном потоке мы видели как температура на левом конце стержня со временем увеличивается. При отрицательном потоке должны наблюдать его охлаждение.

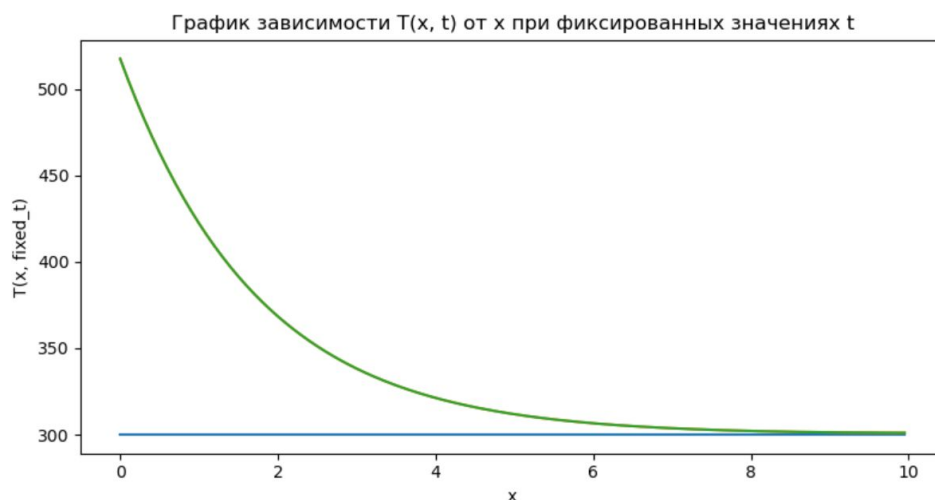




Если после разогрева стержня положить поток $F(t) = 0$, то будет происходить остывание, пока температура не выровняется по всей длине и не станет равной T_0 . Здесь поток прекращается при $t = 60$

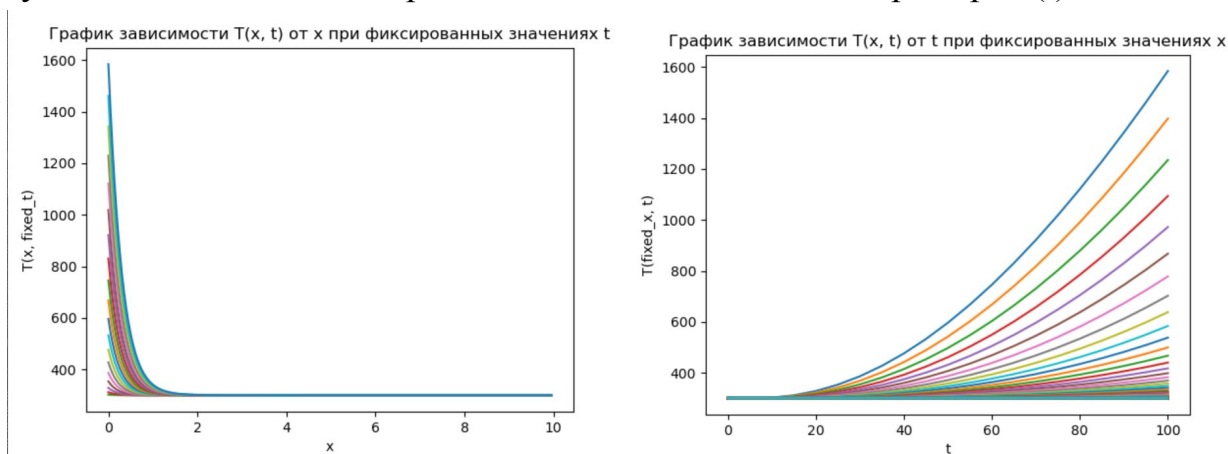


Если убрать зависимость коэффициента теплопроводности k от T , заменив его коэффициентом, зависящим только от координаты, как в предыдущей лабораторной работе, а теплоемкость c обнулить, то при выходе на стационарный режим полученный график идентичен графику полученному в лабораторной №3.



При произвольной зависимости потока $F(t)$ от времени температурное поле

будет как-то сложным образом отслеживать поток. Например $F(t) = T^2/100$.



Выполните линеаризацию уравнения (9) по Ньютону, полагая для простоты, что все коэффициенты зависят только от одной переменной \hat{y}_n . Приведите линеаризованный вариант уравнения и опишите алгоритм его решения. Воспользуйтесь процедурой вывода, описанной в лекции №8.

$$\begin{aligned} K_0 \hat{y}_0 + M_0 \hat{y}_1 &= P_0 \\ \hat{A}_n \hat{y}_{n-1} - \hat{B}_n \hat{y}_n + \hat{C}_n \hat{y}_{n+1} &= -\hat{D}_n, \quad 1 \leq n \leq N-1 \\ K_N \hat{y}_N + M_N \hat{y}_{N-1} &= P_N \end{aligned}$$

Выполним линеаризацию методом Ньютона по переменным $\hat{y}_{n-1}, \hat{y}_n, \hat{y}_{n+1}$. Обозначим текущую итерацию s , а предыдущую итерацию $(s-1)$.

Предполагается, что на предыдущей итерации значения известны. Производные коэффициентов по всем переменным, кроме \hat{y}_n , будут равны нулю, производная $\hat{B}_n \hat{y}_n$ будет посчитана как производная произведения функций.

$$\begin{aligned} &(\hat{A}_n \hat{y}_{n-1} - \hat{B}_n \hat{y}_n + \hat{C}_n \hat{y}_{n+1} + \hat{D}_n) \Big|_{s-1} + \hat{A}_n^{(s-1)} \Delta \hat{y}_{n-1}^{(s)} + \\ &+ \left(\frac{\partial \hat{A}_n}{\partial \hat{y}_n} \hat{y}_{n-1} - \frac{\partial \hat{B}_n}{\partial \hat{y}_n} \hat{y}_n - \hat{B}_n + \frac{\partial \hat{C}_n}{\partial \hat{y}_n} \hat{y}_{n+1} + \frac{\partial \hat{D}_n}{\partial \hat{y}_n} \right) \Big|_{s-1} \Delta \hat{y}_n^{(s)} + \hat{C}_n^{(s-1)} \Delta \hat{y}_{n+1}^{(s)} = 0 \end{aligned}$$

Приведем к каноническому виду

$$\begin{aligned} \hat{A}_n \hat{y}_{n-1} - \hat{B}_n \hat{y}_n + \hat{C}_n \hat{y}_{n+1} &= -\hat{D}_n, \text{ где} \\ \hat{A}_n &= \hat{A}_n^{(s-1)} \\ \hat{B}_n &= \left(\frac{\partial \hat{A}_n}{\partial \hat{y}_n} \hat{y}_{n-1} - \frac{\partial \hat{B}_n}{\partial \hat{y}_n} \hat{y}_n - \hat{B}_n + \frac{\partial \hat{C}_n}{\partial \hat{y}_n} \hat{y}_{n+1} + \frac{\partial \hat{D}_n}{\partial \hat{y}_n} \right) \Big|_{s-1} \\ \hat{C}_n &= \hat{C}_n^{(s-1)} \\ \hat{D}_n &= (\hat{A}_n \hat{y}_{n-1} - \hat{B}_n \hat{y}_n + \hat{C}_n \hat{y}_{n+1} + \hat{D}_n) \Big|_{s-1} \end{aligned}$$

Эту систему уравнений с трехдиагональной матрицей также можно решить методом прогонки с краевыми условиями:

$$\Delta \hat{y}^{(s)}_0 = 0; \quad \Delta \hat{y}^{(s)}_N = 0$$

В результате находятся все $\Delta \hat{y}^{(s)}_n$, после чего находятся все значения функции для текущей итерации по следующей формуле:

$$\hat{y}^{(s)}_n = \hat{y}^{(s-1)}_n + \Delta \hat{y}^{(s)}_n$$

В качестве начального приближения \hat{y}^0_n можно задать y_n с предыдущего шага $t = t_m$.

Итерационный процесс сходится при условии $\max[\frac{\Delta \hat{y}^{(s)}_n}{\hat{y}^{(s)}_n}] \leq \varepsilon, 1 \leq n \leq N$.